

บทที่ 4

ผลการวิจัย

ในบทนี้ฟังก์ชันคลื่นของ proton ที่มีส่วนประกอบของ夸ร์ก 5 ตัวที่สร้างในบทที่ 4 จะคำนวณหาสปินและโมเมนต์แม่เหล็กของ夸ร์กเอกสาร กรณีที่ไม่พิจารณาแบบจำลองของ夸ร์กแบบสัมพัทธภาพ ความประพฤติที่มีผลต่อสปิน proton σ_s และโมเมนต์แม่เหล็กของความประพฤติ μ_s นิยามด้วยค่าความคาดหวังซึ่งแสดงได้ดังนี้

$$\bar{\mu}_s = \frac{e}{2m_s} \sum_k \hat{S}_k (\hat{l}_k + \hat{\sigma}_k) \quad (4-1)$$

$$\bar{\sigma}_s = \hat{\sigma}_s + \hat{\sigma}_{\bar{s}} \quad (4-2)$$

โดย \hat{S}_k คือตัวดำเนินการเพื่อนับความประพฤติด้วยค่าลักษณะเฉพาะ +1 สำหรับ夸ร์กเอกสารและ -1 สำหรับปฏิกิริยา夸ร์กเอกสาร ด้วย k ในเครื่องหมายผลรวมคือ夸ร์กเอกสารและปฏิกิริยา夸ร์กเอกสาร m_s คือมวลประกอบ (Constituent mass) ของ夸ร์กเอกสาร และสุดท้าย \hat{l}_k และ $\hat{\sigma}_k$ คือตัวดำเนินการเชิงภาพถ่ายของโมเมนต์เชิงมุ่งและสปินของ夸ร์ก k ค่าสปินรวมของ夸ร์กเอกสารใน夸ร์ก 4 ตัว Δ_s แสดงด้วยค่าสปินเฉลี่ยของ夸ร์กเอกสารในแนวแกน z ของ夸ร์ก 4 ตัวได้ว่า

$$\Delta_s = \sum (P_{s\uparrow} - P_{s\downarrow}) \quad (4-3)$$

โดย $P_{s\uparrow}$ และ $P_{s\downarrow}$ คือความน่าจะเป็นที่พบ夸ร์กเอกสารใน夸ร์ก 4 ตัวมีสปินขึ้นและลงตามลำดับ

โมเมนต์แม่เหล็กจากสปิน 0

การคำนวณโมเมนต์แม่เหล็กจะเริ่มต้นจากโครงร่างที่夸ร์ก 4 ตัวค่าสปินรวมเป็น 0 ก่อน โครงร่างที่เกี่ยวข้องคือ $[31]_{FS}[21]_F[22]_S$ และ $[31]_{FS}[31]_I[22]_S$ จากสมการที่ 3-95 และ 4-1 จะได้ว่า

$$\begin{aligned}
\langle l_s \rangle - \langle l_{\bar{s}} \rangle &= |B|^2 \left\langle X_{[22]_l}^{OS} \left| \sum_k \hat{S}_k \hat{l}_k \right| X_{[22]_l}^{OS} \right\rangle \\
&= |B|^2 \left\langle X_{[22]_l}^{OS} \left| (\hat{l}_s - \hat{l}_{\bar{s}}) \right| X_{[22]_l}^{OS} \right\rangle = |B|^2 \left\langle X_{[22]_l}^{OS} \left| (0 - \hat{l}_{\bar{s}}) \right| X_{[22]_l}^{OS} \right\rangle \\
&= |B|^2 \left\langle X_{[22]_l}^{OS} \left| (-\hat{l}_{\bar{s}}) \right(-\sqrt{\frac{2}{3}} \left| \chi_{[22]_l}^s(s_z=0) \right\rangle \left| \bar{Y}_{11} \right\rangle \left| \downarrow \right\rangle_{\bar{s}} \right. \right. \\
&\quad \left. \left. + \frac{1}{\sqrt{3}} \left| \chi_{[22]_l}^s(s_z=0) \right\rangle \left| \bar{Y}_{10} \right\rangle \left| \uparrow \right\rangle_{\bar{s}} \right) \right. \\
&= |B|^2 \left\langle X_{[22]_l}^{OS} \left| \left(+\sqrt{\frac{2}{3}} (1) \left| \chi_{[22]_l}^s(s_z=0) \right\rangle \left| \bar{Y}_{11} \right\rangle \left| \downarrow \right\rangle_{\bar{s}} \right. \right. \right. \\
&\quad \left. \left. \left. - \frac{1}{\sqrt{3}} (0) \left| \chi_{[22]_l}^s(s_z=0) \right\rangle \left| \bar{Y}_{10} \right\rangle \left| \uparrow \right\rangle_{\bar{s}} \right) \right. \\
&= -\left(\frac{2}{3}(1) + \frac{1}{3}(0) \right) |B|^2 \\
&= -\frac{2}{3} |B|^2
\end{aligned} \tag{4-4}$$

$$\begin{aligned}
\langle \sigma_s \rangle - \langle \sigma_{\bar{s}} \rangle &= |B|^2 \left\langle X_{[22]_l}^{OS} \left| \sum_k \hat{S}_k \hat{\sigma}_k \right| X_{[22]_l}^{OS} \right\rangle \\
&= |B|^2 \left\langle X_{[22]_l}^{OS} \left| \sum_k \hat{S}_k \hat{\sigma}_k \left(-\sqrt{\frac{2}{3}} \left| \chi_{[22]_l}^s(s_z=0) \right\rangle \left| \bar{Y}_{11} \right\rangle \left| \downarrow \right\rangle_{\bar{s}} \right. \right. \right. \\
&\quad \left. \left. \left. + \frac{1}{\sqrt{3}} \left| \chi_{[22]_l}^s(s_z=0) \right\rangle \left| \bar{Y}_{10} \right\rangle \left| \uparrow \right\rangle_{\bar{s}} \right) \right. \\
&= |B|^2 \left\langle X_{[22]_l}^{OS} \left| \left(-\sqrt{\frac{2}{3}} (-1)(-1) \left| \chi_{[22]_l}^s(s_z=0) \right\rangle \left| \bar{Y}_{11} \right\rangle \left| \downarrow \right\rangle_{\bar{s}} \right. \right. \right. \\
&\quad \left. \left. \left. + \frac{1}{\sqrt{3}} (-1)(1) \left| \chi_{[22]_l}^s(s_z=0) \right\rangle \left| \bar{Y}_{10} \right\rangle \left| \uparrow \right\rangle_{\bar{s}} \right) \right. \\
&= \left(\frac{2}{3} (-1)(-1) + \frac{1}{3} (-1)(1) \right) |B|^2 \\
&= \frac{1}{3} |B|^2
\end{aligned} \tag{4-5}$$

$$\begin{aligned}
\mu_s &= |B|^2 \left\langle X_{[22]_l}^{OS} \left| \frac{e}{2m_s} (\langle l_s \rangle - \langle l_{\bar{s}} \rangle + \langle \sigma_s \rangle - \langle \sigma_{\bar{s}} \rangle) \right| X_{[22]_l}^{OS} \right\rangle \\
&= |B|^2 \left\langle X_{[22]_l}^{OS} \left| \frac{e}{2m_s} \sum_k \hat{S}_k (\hat{l}_k + \hat{\sigma}_k) \right| X_{[22]_l}^{OS} \right\rangle \\
&= \left(-\frac{2}{3} + \frac{1}{3} \right) \frac{e |B|^2}{2m_s} \\
&= -\frac{1}{3} \cdot \frac{e |B|^2}{2m_s}
\end{aligned} \tag{4-6}$$

สมการที่ 4-6 เกิดจากการรวมสมการที่ 4-4 และ 4-5 เข้าด้วยกันแล้วคูณด้วยค่าโน้มnenต์แม่เหล็กของควาร์ก eos $\frac{e}{2m_s}$ โดยที่ $|B|^2$ คือความน่าจะเป็นที่จะพบควาร์ก 5 ตัว ผลลัพธ์ที่ได้มีค่าโน้มnenต์แม่เหล็กคือ $-\frac{1}{3}$ ซึ่งมีค่าเป็นลบ สำหรับค่าสpinของควาร์กeosจะใช้สมการที่ 4-2 ในการคำนวณดังนี้

$$\begin{aligned}
 \sigma_s &= |B|^2 \left\langle X_{[22]_p}^{OS} \left| \bar{\sigma}_s \right| X_{[22]_p}^{OS} \right\rangle \\
 &= |B|^2 \left\langle X_{[22]_p}^{OS} \left| (\hat{\sigma}_+ + \hat{\sigma}_-) \left(-\sqrt{\frac{2}{3}} \left| \chi_{[22]_p}^s(s_z = 0) \right\rangle \left| \bar{Y}_{10} \right\rangle \right| \downarrow \right) \right\rangle_s \\
 &\quad + \frac{1}{\sqrt{3}} \left| \chi_{[22]_p}^s(s_z = 0) \right\rangle \left| \bar{Y}_{10} \right\rangle \left| \uparrow \right\rangle_s \\
 &= |B|^2 \left\langle X_{[22]_p}^{OS} \left| (0 + \hat{\sigma}_-) \left(-\sqrt{\frac{2}{3}} \left| \chi_{[22]_p}^s(s_z = 0) \right\rangle \left| \bar{Y}_{11} \right\rangle \right| \downarrow \right) \right\rangle_s \\
 &\quad + \frac{1}{\sqrt{3}} \left| \chi_{[22]_p}^s(s_z = 0) \right\rangle \left| \bar{Y}_{10} \right\rangle \left| \uparrow \right\rangle_s \\
 &= |B|^2 \left\langle X_{[22]_p}^{OS} \left| \left(-\sqrt{\frac{2}{3}} (-1) \left| \chi_{[22]_p}^s(s_z = 0) \right\rangle \left| \bar{Y}_{11} \right\rangle \right| \downarrow \right) \right\rangle_s \\
 &\quad + \frac{1}{\sqrt{3}} (1) \left| \chi_{[22]_p}^s(s_z = 0) \right\rangle \left| \bar{Y}_{10} \right\rangle \left| \uparrow \right\rangle_s \\
 &= \left(\frac{2}{3} (-1) + \frac{1}{3} (1) \right) |B|^2 \\
 &= -\frac{1}{3} |B|^2
 \end{aligned} \tag{4-7}$$

ค่าที่ได้มีค่าเป็นลบเช่นกัน

โน้มnenต์แม่เหล็กจากสpin 1

โครงร่างต่อไปคือโครงร่างที่ควาร์ก 4 ตัวมีค่าสpinรวมเป็น 1 ในโครงร่างนี้จะมีค่าสpinเฉลี่ยของควาร์กeosในควาร์ก 4 ตัว Δ รวมอยู่ในผลลัพธ์และต้องคำนวณแยกจากสpinและโน้มnenต์แม่เหล็กของควาร์ก 5 ตัว เนื่องจาก Δ มีค่าขึ้นอยู่กับโครงร่างของส่วนเฟลเวอร์-สpin โครงร่างที่สpinรวมเป็น 1 คือ $[31]_{FS}[211]_p [31]_{FS} [31]_{FS} [22]_p [31]_S$ และ $[31]_{FS} [31]_p [31]_S$ โดยจะใช้ฟังก์ชันคลื่นดำเนิน-สpinจากสมการที่ 3-96 มาคำนวณ μ และ σ_s ดังนี้

$$\begin{aligned}
\langle l_s \rangle - \langle l_{\bar{s}} \rangle &= |B|^2 \left\langle X_{[31]_p}^{OS} \left| \sum_k \hat{S}_k \hat{l}_k \right| X_{[31]_p}^{OS} \right\rangle \\
&= |B|^2 \left\langle X_{[31]_p}^{OS} \left| \left(\hat{l}_s - \hat{l}_{\bar{s}} \right) \right| X_{[31]_p}^{OS} \right\rangle = |B|^2 \left\langle X_{[31]_p}^{OS} \left| \left(0 - \hat{l}_{\bar{s}} \right) \right| X_{[31]_p}^{OS} \right\rangle \\
&= - \left[\left(\frac{1}{2} \right)^2 (1) + \left(\frac{1}{3} \right)^2 (1) + \left(\frac{1}{3\sqrt{2}} \right)^2 (0) + \left(\frac{1}{3\sqrt{2}} \right)^2 (1) + \left(\frac{1}{3} \right)^2 (0) + \left(\frac{1}{3} \right)^2 (0) \right. \\
&\quad \left. + \left(\frac{\sqrt{2}}{3} \right)^2 (-1) + \left(\frac{1}{3\sqrt{2}} \right)^2 (0) + \left(\frac{1}{6} \right)^2 (-1) \right] |B|^2 \\
&= -\frac{1}{6} |B|^2
\end{aligned} \tag{4-8}$$

$$\begin{aligned}
\langle \sigma_s \rangle - \langle \sigma_{\bar{s}} \rangle &= |B|^2 \left\langle X_{[31]_p}^{OS} \left| \sum_k \hat{S}_k \hat{\sigma}_k \right| X_{[31]_p}^{OS} \right\rangle = |B|^2 \left\langle X_{[31]_p}^{OS} \left| (\hat{\sigma}_s - \hat{\sigma}_{\bar{s}}) \right| X_{[31]_p}^{OS} \right\rangle \\
&= |B|^2 \left[\left(\frac{1}{2} \right)^2 (-\Delta_s - 1) + \left(\frac{1}{3} \right)^2 (0+1) + \left(\frac{1}{3\sqrt{2}} \right)^2 (0-1) + \left(\frac{1}{3\sqrt{2}} \right)^2 (0+1) + \left(\frac{1}{3} \right)^2 (0-1) \right. \\
&\quad \left. + \left(\frac{1}{3} \right)^2 (\Delta_s + 1) + \left(\frac{\sqrt{2}}{3} \right)^2 (\Delta_s - 1) + \left(\frac{1}{3\sqrt{2}} \right)^2 (\Delta_s + 1) + \left(\frac{1}{6} \right)^2 (\Delta_s - 1) \right] \\
&= \left(-\frac{1}{3} + \frac{\Delta_s}{6} \right) |B|^2
\end{aligned} \tag{4-9}$$

$$\begin{aligned}
\mu_s &= |B|^2 \left\langle X_{[31]_p}^{OS} \left| \vec{\mu} \right| X_{[31]_p}^{OS} \right\rangle = |B|^2 \left\langle X_{[31]_p}^{OS} \left| \frac{e}{2m_s} \sum_k \hat{S}_k (\hat{l}_k + \hat{\sigma}_k) \right| X_{[31]_p}^{OS} \right\rangle \\
&= \left\langle X_{[31]_p}^{OS} \left| \frac{e}{2m_s} (\langle l_s \rangle - \langle l_{\bar{s}} \rangle + \langle \sigma_s \rangle - \langle \sigma_{\bar{s}} \rangle) \right| X_{[31]_p}^{OS} \right\rangle \\
&= \left[-\frac{1}{6} + \left(-\frac{1}{3} + \frac{\Delta_s}{6} \right) \right] \frac{e |B|^2}{2m_s} \\
&= -\frac{1}{2} \left(1 - \frac{\Delta_s}{3} \right) \frac{e |B|^2}{2m_s}
\end{aligned} \tag{4-10}$$

$$\begin{aligned}
\sigma_s &= |B|^2 \langle X_{[31]_F}^{OS} | \hat{\sigma}_s | X_{[31]_F}^{OS} \rangle = |B|^2 \langle X_{[31]_F}^{OS} | (\hat{\sigma}_s + \hat{\sigma}_{\bar{s}}) | X_{[31]_F}^{OS} \rangle \\
&= \left[\left(\frac{1}{2} \right)^2 (-\Delta_s + 1) + \left(\frac{1}{3} \right)^2 (0 - 1) + \left(\frac{1}{3\sqrt{2}} \right)^2 (0 + 1) + \left(\frac{1}{3\sqrt{2}} \right)^2 (0 - 1) + \left(\frac{1}{3} \right)^2 (0 + 1) \right. \\
&\quad \left. + \left(\frac{1}{3} \right)^2 (\Delta_s - 1) + \left(\frac{\sqrt{2}}{3} \right)^2 (\Delta_s + 1) + \left(\frac{1}{3\sqrt{2}} \right)^2 (\Delta_s - 1) + \left(\frac{1}{6} \right)^2 (\Delta_s + 1) \right] |B|^2 \\
&= \frac{1}{3} \left(1 + \frac{\Delta_s}{2} \right) |B|^2
\end{aligned} \tag{4-11}$$

ค่า μ_s และ σ_s ที่ได้จะมีค่าสปินเฉลี่ยของควาร์กอิเล็กตรอนในควาร์ก 4 ตัว Δ_s อยู่ในสมการซึ่งจะแสดงวิธีคำนวณในภายหลังเนื่องจากมีค่าต่างกันไปตามโครงสร้างของส่วนเฟลเวอร์-สปิน

โมเมนต์แม่เหล็กจากสปิน 2

สำหรับโครงสร้างที่มีสปินรวมในควาร์ก 4 ตัวมีค่าเป็น 2 ในโครงสร้างนี้มีเพียงโครงสร้างเดียวคือ $[31]_{FS}[31]_F[4]_S$ จากสมการที่ 3-97 จะได้เป็น

$$\begin{aligned}
\langle l_s \rangle - \langle l_{\bar{s}} \rangle &= |B|^2 \langle X_{[4]}^{OS} | \sum_k \hat{S}_k \hat{l}_k | X_{[4]}^{OS} \rangle = |B|^2 \langle X_{[4]}^{OS} | (\hat{l}_s - \hat{l}_{\bar{s}}) | X_{[4]}^{OS} \rangle \\
&= |B|^2 \langle X_{[4]}^{OS} | (0 - \hat{l}_{\bar{s}}) | X_{[4]}^{OS} \rangle \\
&= - \left[\frac{1}{10}(1) + \frac{1}{15}(1) + \frac{2}{15}(0) + \frac{1}{5}(0) \right. \\
&\quad \left. + \frac{1}{10}(-1) + \frac{2}{5}(-1) \right] |B|^2 \\
&= \frac{1}{3} |B|^2
\end{aligned} \tag{4-12}$$

$$\begin{aligned}
\langle \hat{\sigma}_s \rangle - \langle \hat{\sigma}_{\bar{s}} \rangle &= |B|^2 \langle X_{[4]}^{OS} | \sum_k \hat{S}_k \hat{\sigma}_k | X_{[4]}^{OS} \rangle = |B|^2 \langle X_{[4]}^{OS} | (\hat{\sigma}_s - \hat{\sigma}_{\bar{s}}) | X_{[4]}^{OS} \rangle \\
&= \left[\frac{1}{10}(-\Delta_s - 1) + \frac{1}{15}(0 + 1) + \frac{2}{15}(0 - 1) + \frac{1}{5}(\Delta_s + 1) \right. \\
&\quad \left. + \frac{1}{10}(\Delta_s - 1) + \frac{2}{5}(2\Delta_s + 1) \right] |B|^2 \\
&= \left(\frac{1}{3} + \Delta_s \right) |B|^2
\end{aligned} \tag{4-13}$$

$$\begin{aligned}
\mu_s &= |B|^2 \langle X_{[4]}^{OS} | \hat{\mu}_s | X_{[4]}^{OS} \rangle = |B|^2 \langle X_{[4]}^{OS} | \frac{e}{2m_s} \sum_k \hat{S}_k (\hat{l}_k + \hat{\sigma}_k) | X_{[4]}^{OS} \rangle \\
&= |B|^2 \langle X_{[4]}^{OS} | \frac{e}{2m_s} (\langle l_s \rangle - \langle l_{\bar{s}} \rangle + \langle \hat{\sigma}_s \rangle - \langle \hat{\sigma}_{\bar{s}} \rangle) | X_{[4]}^{OS} \rangle \\
&= \frac{1}{3} + \left(\frac{1}{3} + \Delta_s \right) \frac{e|B|^2}{2m_s} \\
&= \left(\frac{2}{3} + \Delta_s \right) \frac{e|B|^2}{2m_s}
\end{aligned} \tag{4-14}$$

$$\begin{aligned}
\sigma_s &= |B|^2 \langle X_{[4]}^{OS} | \hat{\sigma}_s | X_{[4]}^{OS} \rangle = |B|^2 \langle X_{[4]}^{OS} | (\hat{\sigma}_s + \hat{\sigma}_{\bar{s}}) | X_{[4]}^{OS} \rangle \\
&= \left[\frac{1}{10} (-\Delta_s + 1) + \frac{1}{15} (0 - 1) + \frac{2}{15} (0 + 1) + \frac{1}{5} (\Delta_s - 1) \right. \\
&\quad \left. + \frac{1}{10} (\Delta_s + 1) + \frac{2}{5} (2\Delta_s - 1) \right] |B|^2 \\
&= \left(-\frac{1}{3} + \Delta_s \right) |B|^2
\end{aligned} \tag{4-15}$$

สปินเฉลี่ยของ夸ร์กเօສใน夸ร์ก 4 ตัว

การคำนวณสปินเฉลี่ยของ夸ร์กเօສใน夸ร์ก 4 ตัว Δ_s จากสมการที่ 4-8 ถึง 4-15 นี้ คำนวณโดยแยกตามโครงสร้างเฟลเวอร์-สปินของ夸ร์ก 4 ตัว เริ่มจาก $[31]_{FS}[211]_L [31]_S$ จาก สมการที่ 3-48 ถึง 3-50 โดยใช้ฟังก์ชันคลื่นเฟลเวอร์จากสมการที่ 3-83 และ 3-85 และฟังก์ชันคลื่น สปินจากสมการที่ 3-70 และ 3-74 ในกรณีสปินของ夸ร์ก 4 ตัวในแนวแกน z มีค่าเป็น 1 จะได้

$$\begin{aligned}
|[31]_{FS\lambda}[211]_L [31]_S\rangle &= \frac{1}{\sqrt{2}} (\psi_{[211]\lambda}^F \chi_{[31]\eta}^S - \psi_{[211]\eta}^F \chi_{[31]\rho}^S) \\
&= \frac{1}{\sqrt{2}} \left\{ \frac{1}{4} \left[-2|uusd\rangle + |usud\rangle + |suud\rangle + 2|uuds\rangle - |udus\rangle - |dusu\rangle \right. \right. \\
&\quad \left. \left. - |usdu\rangle - |sudu\rangle + |uds\rangle + |dus\rangle \right] \right. \\
&\quad \times \left[\frac{1}{\sqrt{12}} (3|\uparrow\uparrow\uparrow\downarrow\rangle - |\uparrow\uparrow\downarrow\uparrow\rangle - |\uparrow\downarrow\uparrow\uparrow\rangle - |\downarrow\uparrow\uparrow\uparrow\rangle) \right] \\
&\quad - \left[\frac{1}{\sqrt{6}} \left[-|usdu\rangle + |sudu\rangle + |uds\rangle - |dus\rangle - |sduu\rangle + |dsuu\rangle \right] \right] \\
&\quad \left. \times \left[\frac{1}{\sqrt{2}} (|\uparrow\downarrow\uparrow\uparrow\rangle - |\downarrow\uparrow\uparrow\uparrow\rangle) \right] \right\}
\end{aligned}$$

$$\begin{aligned}
&= \frac{1}{\sqrt{2}} \left\{ \frac{1}{8\sqrt{3}} \left[-6|u(\uparrow)u(\uparrow)s(\uparrow)d(\downarrow)\rangle + 3|u(\uparrow)s(\uparrow)u(\uparrow)d(\downarrow)\rangle + \dots \right. \right. \\
&\quad \left. \left. + 2|u(\uparrow)u(\uparrow)s(\downarrow)d(\uparrow)\rangle - |u(\uparrow)s(\uparrow)u(\downarrow)d(\uparrow)\rangle + \dots \right] \right. \\
&\quad \left. - \left[\frac{1}{2\sqrt{3}} \left[-|u(\uparrow)s(\uparrow)d(\uparrow)u(\downarrow)\rangle + |s(\uparrow)u(\uparrow)d(\uparrow)u(\downarrow)\rangle \right. \right. \right. \\
&\quad \left. \left. \left. + |u(\uparrow)s(\downarrow)d(\uparrow)u(\uparrow)\rangle - |s(\downarrow)u(\uparrow)d(\uparrow)u(\uparrow)\rangle + \dots \right] \right] \right\} \\
&\tag{4-16}
\end{aligned}$$

โดยที่ $u(\uparrow)$ คือควาร์กยูที่มีสปินขึ้นและ $u(\downarrow)$ คือควาร์กยูสปินลงและทำนองเดียวกันสำหรับควาร์กตัวอื่น ๆ เมื่อได้ฟังก์ชันคลื่นของเฟลเวอร์-สปินแล้วจะนำมารวบหาค่าสปินเฉลี่ยของควาร์กเอกสารในควาร์ก 4 ตัวดังนี้

$$\begin{aligned}
\Delta_{FS\lambda} &= \left| \langle (s(\uparrow) - s(\downarrow)) | [31]_{FS\lambda} [21]_F [31]_S \rangle \right|^2 \\
&= \left(\frac{1}{\sqrt{2}} \right)^2 \left\{ \left(\frac{1}{8\sqrt{3}} \right)^2 \left[6^2(1) + 3^2(1) + \dots + 2^2(-1) + (1) + \dots \right] \right. \\
&\quad \left. \left(\frac{1}{2\sqrt{3}} \right)^2 \left[(1) + (1) + \dots (-1) + (-1) + \dots \right] \right\} \\
&= \frac{13}{36}
\end{aligned} \tag{4-17}$$

โดยที่ $\Delta_{FS\lambda}$ คือสปินเฉลี่ยของเอกสารควาร์กในควาร์ก 4 ตัวจากฟังก์ชันคลื่นเฟลเวอร์-สปินประเกท λ โดยต้องนำมานเฉลี่ยกับ $\Delta_{FS\rho}$ และ $\Delta_{FS\eta}$ จากฟังก์ชันคลื่นเฟลเวอร์-สปินประเกท ρ และ η ผลลัพธ์ที่ได้พบว่าทั้ง 3 ตัวมีค่าเท่ากันคือ $\frac{13}{36}$ เมื่อนำค่าสปินเฉลี่ยทั้งสามมาเฉลี่ยอีกครั้งจะได้ Δ , โดยแสดงได้ดังนี้

$$\begin{aligned}
\Delta_S &= \frac{1}{3} (\Delta_{FS\lambda} + \Delta_{FS\rho} + \Delta_{FS\eta}) \\
&= \frac{13}{36}
\end{aligned} \tag{4-18}$$

สำหรับโครงสร้างอื่น ๆ Δ , ที่คำนวณแล้วสามารถดูได้จากตารางที่ 4-1

เมื่อได้ค่า Δ_s และจะสามารถนำไปคำนวณ σ_s และ μ_s แต่ละโครงร่างได้ตัวอย่างสำหรับโครงร่าง $[31]_{FS}[31]_F[4]_S$ จากสมการที่ 4-14 และ 4-15 จะได้

$$\begin{aligned}\mu_s &= \left(\frac{2}{3} + \Delta_s \right) \frac{e|B|^2}{2m_s} \\ &= \left(\frac{2}{3} + \frac{1}{2} \right) \frac{e|B|^2}{2m_s} \\ &= \frac{7}{6} \cdot \frac{e|B|^2}{2m_s}\end{aligned}\quad (4-19)$$

$$\begin{aligned}\sigma_s &= \left(-\frac{1}{3} + \Delta_s \right) |B|^2 \\ &= \left(-\frac{1}{3} + \frac{1}{2} \right) |B|^2 \\ &= \frac{1}{6} |B|^2\end{aligned}\quad (4-20)$$

สำหรับโครงร่างอื่น ๆ ก็สามารถคำนวณด้วยวิธีเดียวกัน
ผลลัพธ์ทั้งหมดที่ได้จะทำให้เข้าใจในส่วนนี้สามารถแสดงได้ดังตารางที่ 4-1

ตารางที่ 4-1 โครงร่างสpinและเฟลเวอร์ของสถานะ $uuds$

สถานะพื้นฐานของ $uuds$	Δ_s	$\sigma_s(B ^2)$	$\mu_s(\frac{e}{2m_s} B ^2)$
$[31]_{FS}[211]_I [22]_S$	-	-1/3	-1/3
$[31]_{FS}[211]_I [31]_S$	13/36	85/216	-95/216
$[31]_{FS}[22]_I [31]_S$	1/2	5/12	-5/12
$[31]_{FS}[31]_I [22]_S$	-	-1/3	-1/3
$[31]_{FS}[31]_I [31]_S$	65/108	281/648	-259/648
$[31]_{FS}[31]_I [4]_S$	1/2	1/6	7/6

โดยที่ σ_s คือความประหาดที่มีผลต่อสปินโปรตอน (Strangeness contribution to the proton spin) Δ_s คือสปินเฉลี่ยในแนวแกน z ของควาร์กเօสในควาร์ก 4 ตัว μ_s คือโมเมนต์แม่เหล็กของความประหาด (Strangeness magnetic moment) $|B|^2$ คือความน่าจะเป็นที่พนิโครงสร้างควาร์ก 5 ตัว

แอมเพลจูดของการเปลี่ยนสถานะ

ฟังก์ชันคลื่นในหัวข้อที่ผ่านมาสามารถนำประยุกต์ได้อาทิเช่น ในส่วนของตัวแทนง-เฟลเวอร์-สปิน ได้ถูกนำไปพิจารณาผลของสปินและโมเมนต์แม่เหล็กจากควาร์กเօสและปฏิควาร์กเօสที่มีผลต่อโปรตอน (An et al., 2006) แต่สำหรับกระบวนการการกระเจิงและการถ่ายตัว จะต้องใช้ฟังก์ชันคลื่นที่สมบูรณ์หรือครบถ้วนส่วนสำหรับการคำนวณแอมเพลจูดของการเปลี่ยนสถานะ ตัวอย่างเช่นการเกิดเมซอนฟิในปฏิกริยาประลัยคู่โปรตอน-ปฏิโปรตอน จากคู่ของควาร์กเօสและปฏิควาร์กเօสที่อยู่ในรูปของควาร์ก 5 ตัวซึ่งกระบวนการถูกบรรยายด้วยแผนภาพเส้นทางควาร์กดังที่แสดงไว้ในรูปที่ 4-1 ในปฏิกริยาการประลัยคู่โปรตอน-ปฏิโปรตอนนั้นสามารถถถ่ายตัวเป็นอนุภาคได้ 4 แบบคือ $p\bar{p} \rightarrow \phi\omega, \phi\pi^0, \phi\rho^0, \phi\eta$ ซึ่งกลไกการเกิดนั้นยังไม่สามารถทราบได้แน่ชัด อย่างไรก็ตามยังมีแบบจำลองหนึ่งที่อธิบายการถ่ายตัวของเบริ้อนและเมซอนได้สำเร็จ แบบจำลองที่ว่านี้คือ 3P_0 ดังนั้นในหัวข้อนี้จะใช้แบบจำลอง 3P_0 ในการอธิบายอันตรกิริยา $p\bar{p} \rightarrow \phi X$ โดยใช้ฟังก์ชันคลื่นของโปรตอนที่สร้างขึ้นแล้วในบทที่ผ่านมา

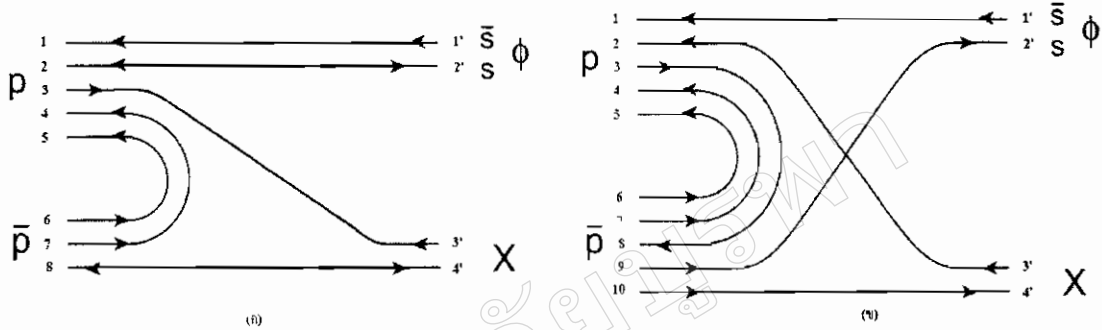
แอมเพลจูดของการเปลี่ยนสถานะสามารถเขียนให้อยู่ในรูปทั่วไปได้ว่า

$$T = \langle \phi X | \hat{O} | p\bar{p} \rangle \quad (4-21)$$

$|p\bar{p}\rangle$ คือสถานะเริ่มต้นของโปรตอน-ปฏิโปรตอนที่มีควาร์ก 5 ตัว $\langle \phi X |$ คือสถานะสุดท้ายของฟีเมซอนและอนุภาคเมซอน $X (= \omega, \pi^0, \rho^0, \eta)$ และ \hat{O} คือตัวดำเนินการแอมเพลจูดของการเปลี่ยนสถานะที่ซึ่งใช้แบบจำลอง 3P_0 สามารถแสดงได้ดังนี้

$$T = \langle \phi X | \hat{O} | uuds\bar{s} \otimes \bar{u}\bar{n}\bar{d}s\bar{s} \rangle \quad (4-22)$$

โดยทั่วไปแล้วอันตรกิริยาระหว่างโปรตอน-ปฏิกิริยาที่มีค่าวาร์ก 5 ตัวทั้งคู่จะประมวลให้มีปริมาณน้อยมาก $B^2 \ll A^2$ และจะลดลงจนสูญหายไป แต่ถ้าไรกีตามสิ่งนี้เป็นเรื่องน่าสนใจว่าพจน์ที่คละทึบันนี้มีลักษณะของแอมพลิจูดของการเปลี่ยนสถานะเป็นเช่นไร มีปริมาณน้อยพอที่จะลดทึบหรือไม่



ภาพที่ 4-1 แผนภาพเส้นทางค่าวาร์กในปฏิกิริยา $p\bar{p} \rightarrow \phi X$ (i) ค่าวาร์ก 5 ตัวกับปฏิกิริยา 3 ตัว (ii)
ค่าวาร์ก 5 ตัวกับปฏิกิริยา 5 ตัว

แอมพลิจูดของการเปลี่ยนสถานะสามารถคำนวณได้โดยใช้ปริภูมิโนเมนตัม จากภาพที่ 4-1 (ii) สามารถเขียนแอมพลิจูดของการเปลี่ยนสถานะได้ว่า

$$T = \int d^3\bar{q}_1 \dots d^3\bar{q}_{10} d^3\bar{q}_1 \dots d^3\bar{q}_4 \langle \phi X | \bar{q}_1 \dots \bar{q}_4 \rangle \langle \bar{q}_1 \dots \bar{q}_4 | \hat{O} | \bar{q}_1 \dots \bar{q}_{10} \rangle \\ \langle \bar{q}_1 \dots \bar{q}_{10} | uuds\bar{s} \otimes \bar{u}\bar{u}d\bar{s}\bar{s} \rangle \quad (4-23)$$

สมการที่ 4-23 เกิดจากการแทรกความบริบูรณ์ (Completeness) ลงในสมการที่ 4-22 โดยมีข้อบ่งชี้ การปริพันธ์คือปริภูมิโนเมนตัมทั้งหมด โดยที่ \hat{O} คือ

$$\hat{O} = \lambda_{38}\lambda_{47}\lambda_{56} \delta^{(3)}(\bar{q}_1 - \bar{q}_1) \delta^{(3)}(\bar{q}_2 - \bar{q}_3) \delta^{(3)}(\bar{q}_9 - \bar{q}_2) \delta^{(3)}(\bar{q}_{10} - \bar{q}_4) V^{38}V^{47}V^{56} \quad (4-24)$$

ฟังก์ชัน δ หมายถึงไม่เกิดอันตรกิริยาและดำเนินต่อเนื่องไปบนแผนภาพ λ_i คือความเข้มบังพลของการประลัยคู่ $q\bar{q}$ และ V^μ คืออันตรกิริยาการประลัยคู่ $q\bar{q}$ แบบ 3P_0 (Dover et al., 1992) นิยามด้วย

$$V^y = \sum_{\mu} \sigma_{-\mu}^y Y_{1\mu}(\vec{q}_i - \vec{q}_j) \delta^{(3)}(\vec{q}_i + \vec{q}_j) (-1)^{1+\mu} 1_F^y 1_C^y \quad (4-25)$$

โดยที่ $Y_{1\mu}(\vec{q}) = |\vec{q}| Y_{1\mu}(\hat{q})$ เป็นชาร์มอนิกทรงกลมในปริภูมิโวเมนดัม 1_F^y และ 1_C^y คือเมทริกซ์หนึ่งหน่วยในปริภูมิเฟลเวอร์และสีตามลำดับ $\sigma_{-\mu}^y$ คือคู่ควาร์กใด ๆ $q\bar{q}$ ที่ทำลายกันแล้วมีค่าสpin เป็น 1 ตามแบบจำลอง 3P_0

ฟังก์ชันคลื่นที่สร้างจะประมาณให้อยู่ภายใต้ศักย์ชาร์มอนิกโดยใช้พิกัดจากอบีในปริภูมิโวเมนดัม ซึ่งฟังก์ชันคลื่นของเมฆอน M (ϕ และ X) สามารถแสดงได้ดังนี้

$$\langle M | \vec{q}_i \vec{q}_{i'} \rangle \equiv \varphi_M(\vec{q}_i, \vec{q}_{i'}) | \chi_M \rangle = N_M \exp\left(-\frac{R_M^2}{8} (\vec{q}_i - \vec{q}_{i'})^2\right) | \chi_M \rangle \quad (4-26)$$

โดยที่ $N_M = (R_M^2 / \pi)^{3/4}$ R_M คือพารามิเตอร์เชิงรัศมีของเมฆอน $|\chi_M\rangle$ คือสถานะคลื่นสpin-สี-เฟลเวอร์ของเมฆอน สำหรับฟังก์ชันคลื่นของโปรตอนและปฏิโปรตอนที่มีควาร์ก 5 ตัวสามารถเขียนได้ว่า

$$\langle \vec{q}_1 \dots \vec{q}_5 | uuds\bar{s} \rangle \equiv \varphi_{uuds\bar{s}}(\vec{q}_1 \dots \vec{q}_5) | \chi_{uuds\bar{s}} \rangle \quad (4-27)$$

$$\langle \vec{q}_6 \dots \vec{q}_{10} | \bar{u}\bar{u}\bar{d}s\bar{s} \rangle \equiv \varphi_{\bar{u}\bar{u}\bar{d}\bar{s}\bar{s}}(\vec{q}_6 \dots \vec{q}_{10}) | \chi_{\bar{u}\bar{u}\bar{d}\bar{s}\bar{s}} \rangle \quad (4-28)$$

$$\begin{aligned} \varphi_{uuds\bar{s}}(\vec{q}_1 \dots \vec{q}_5) &= N_{uuds\bar{s}} \exp\left\{-\frac{R_B^2}{4} \left[(\vec{q}_2 - \vec{q}_3)^2 + \frac{1}{3}(\vec{q}_2 + \vec{q}_3 - 2\vec{q}_4)^2 \right. \right. \\ &\quad \left. \left. + \frac{1}{6}(\vec{q}_2 + \vec{q}_3 + \vec{q}_4 - 3\vec{q}_5)^2 \right] \right. \\ &\quad \left. + \frac{1}{10}(\vec{q}_2 + \vec{q}_3 + \vec{q}_4 + \vec{q}_5 - 4\vec{q}_1)^2 \right\} \\ &\quad Y_{1\kappa} \left(\frac{\vec{q}_2 + \vec{q}_3 + \vec{q}_4 + \vec{q}_5 - 4\vec{q}_1}{\sqrt{20}} \right) \end{aligned} \quad (4-29)$$

โดยที่ R_B คือพารามิเตอร์เชิงรัศมีของเบริออนซอน $|\chi_{uuds\bar{s}}\rangle$ คือสถานะคลื่นสpin-สี-เฟลเวอร์ของของควาร์ก 5 ตัว และ $N_{uuds\bar{s}}$ คือค่าคงที่ปกติ

$$\begin{aligned} \phi_{\bar{u}\bar{u}\bar{d}\bar{s}\bar{s}}(\bar{q}_6 \dots \bar{q}_{10}) = N_{\bar{u}\bar{u}\bar{d}\bar{s}\bar{s}} \exp & \left\{ -\frac{R_B^2}{4} \left[(\bar{q}_6 - \bar{q}_7)^2 + \frac{1}{3}(\bar{q}_6 + \bar{q}_7 - 2\bar{q}_8)^2 \right. \right. \\ & + \frac{1}{6}(\bar{q}_6 + \bar{q}_7 + \bar{q}_8 - 3\bar{q}_{10})^2 \\ & \left. \left. + \frac{1}{10}(\bar{q}_6 + \bar{q}_7 + \bar{q}_8 + \bar{q}_{10} - 4\bar{q}_9)^2 \right] \right\} \\ & Y_{1\nu} \left(\frac{\bar{q}_6 + \bar{q}_7 + \bar{q}_8 + \bar{q}_{10} - 4\bar{q}_9}{\sqrt{20}} \right) \end{aligned} \quad (4-30)$$

สำหรับสถานะเริ่มต้นของโปรตอนและปัจจุบันที่มีค่าราก 5 ตัว $p\bar{p}$ เราจะแสดงฟังก์ชันคลื่นในระบบศูนย์กลางโมเมนต์ ($\bar{k} = \bar{q}_1 + \bar{q}_2 + \bar{q}_3 + \bar{q}_4 + \bar{q}_5$) โดยใช้คลื่นระนาบเป็นฟังก์ชันฐานในการเคลื่อนที่สัมพัทธ์ระหว่างโปรตอนและปัจจุบัน

$$\begin{aligned} \langle \bar{q}_1 \dots \bar{q}_{10} | (uuds\bar{s}) \otimes (\bar{u}\bar{u}\bar{d}\bar{s}\bar{s}) \rangle &= \langle \bar{q}_1 \dots \bar{q}_{10} | (uuds\bar{s}) \otimes (\bar{u}\bar{u}\bar{d}\bar{s}\bar{s}) \rangle_{spatial} |\chi_{uuds\bar{s}} \otimes \chi_{\bar{u}\bar{u}\bar{d}\bar{s}\bar{s}} \rangle_{S,S_z} \\ &= \varphi_{uuds\bar{s}, \bar{u}\bar{u}\bar{d}\bar{s}\bar{s}} |\chi_{uuds\bar{s}} \otimes \chi_{\bar{u}\bar{u}\bar{d}\bar{s}\bar{s}} \rangle_{S,S_z} \end{aligned} \quad (4-31)$$

$$\varphi_{uuds\bar{s}, \bar{u}\bar{u}\bar{d}\bar{s}\bar{s}} = \varphi_{uuds\bar{s}} \varphi_{\bar{u}\bar{u}\bar{d}\bar{s}\bar{s}} \delta^{(3)}(\bar{q}_1 + \bar{q}_2 + \bar{q}_3 + \bar{q}_4 + \bar{q}_5 - \bar{k}) \delta^{(3)}(\bar{q}_6 + \bar{q}_7 + \bar{q}_8 + \bar{q}_9 + \bar{q}_{10} + \bar{k}) \quad (4-32)$$

เช่นเดียวกันกับสถานะสุดท้ายในระบบศูนย์กลางโมเมนต์ ($\bar{q} = \bar{q}_{1'} + \bar{q}_{2'}$)

$$\begin{aligned} \langle \phi X | \bar{q}_1 \dots \bar{q}_{4'} \rangle &= \left\langle \chi_\phi \otimes \chi_{X|_{f_i, m_i}} \langle \phi X |_{spatial} | \bar{q}_{1'} \dots \bar{q}_{4'} \right\rangle \\ &= \left\langle \chi_\phi \otimes \chi_{X|_{f_i, m_i}} \varphi_{\phi, X} \right\rangle \end{aligned} \quad (4-33)$$

$$\varphi_{\phi, X} = \varphi_\phi \varphi_X \delta^{(3)}(\bar{q}_{1'} + \bar{q}_{2'} - \bar{q}) \delta^{(3)}(\bar{q}_{3'} + \bar{q}_{4'} + \bar{q}) \quad (4-34)$$

ด้วยการประมาณสำหรับระบบที่มีโมเมนต์น้อย ๆ ของสถานะเริ่มต้น i สำหรับระบบอ่อนต่อน โปรตอนเนี่ยน $p\bar{p}$ ในสถานะ $S(L=0)$ โมเมนต์เริ่มต้น q ไปเป็นสถานะสุดท้าย f ในสถานะ $P(L=1)$ โมเมนต์สุดท้าย k จะเขียนแบบพลวุคของการเปลี่ยนสถานะได้ใหม่ว่า

$$T_{if} = \lambda_{38}\lambda_{47}\lambda_{56} \langle f | \sum_{\mu,\eta,\lambda} (-1)^{1+\mu+\eta+\lambda} \sigma_{-\mu}^{38} \sigma_{-\eta}^{47} \sigma_{-\lambda}^{56} 1_F^{38} 1_F^{47} 1_C^{56} 1_C^{38} 1_C^{47} 1_C^{56} I_{spatial} | i \rangle \quad (4-35)$$

โดยที่

$$|i\rangle = \left| \left\{ \chi_{\frac{1}{2}, m_{uuds\bar{s}}} (uuds\bar{s}) \otimes \chi_{\frac{1}{2}, m_{\bar{u}\bar{u}\bar{d}s\bar{s}}} (\bar{u}\bar{u}\bar{d}s\bar{s}) \right\}_{S,S_z} \otimes (L,M) \right\rangle_{J,J_z} \quad (4-36)$$

$$|f\rangle = \left| \left\{ \chi_{1, m_\alpha} (\phi) \otimes \chi_{J_m, m_{3,4}} (X) \right\}_{J, m_e} \otimes (\ell_f, m_f) \right\rangle_{J', J'_z} \quad (4-37)$$

$$I_{spatial} = \int d^3\bar{q}_1 \dots d^3\bar{q}_{10} d^3\bar{q}_1 \dots d^3\bar{q}_4 \phi_{\varphi, X} \hat{O}_{spatial} \phi_{uuds\bar{s}, \bar{u}\bar{u}\bar{d}s\bar{s}} \quad (4-38)$$

โดยที่ $I_{spatial}$ คือแอนพลิคูดของคลื่นตำแหน่ง และ

$$\begin{aligned} \hat{O}_{spatial} = & Y_{1\mu}(\bar{q}_3 - \bar{q}_8)\delta^{(3)}(\bar{q}_3 + \bar{q}_8)Y_{1\eta}(\bar{q}_4 - \bar{q}_7)\delta^{(3)}(\bar{q}_4 + \bar{q}_7)Y_{1\lambda}(\bar{q}_5 - \bar{q}_6)\delta^{(3)}(\bar{q}_5 + \bar{q}_6) \\ & \delta^{(3)}(\bar{q}_1 - \bar{q}_1)\delta^{(3)}(\bar{q}_2 - \bar{q}_3)\delta^{(3)}(\bar{q}_9 - \bar{q}_{2'})\delta^{(3)}(\bar{q}_{10} - \bar{q}_{4'}) \end{aligned} \quad (4-39)$$

เมื่อทำการปริพันธ์แอนพลิคูดของคลื่นตำแหน่งผลลัพธ์ของแอนพลิคูดของการเปลี่ยนสถานะที่ได้จะอยู่ในรูป

$$T_{if}(\bar{q}, \bar{k}) = \lambda_{38}\lambda_{47}\lambda_{56} F_{l_i=0, l_f=1} f(\kappa, \nu, \mu, \eta, \lambda) q \exp\{-Q_q^2 q^2 - Q_k^2 k^2\} \langle f | \hat{O}' | i \rangle \quad (4-40)$$

โดยที่ $F_{l_i=0, l_f=1}$ คือค่าคงที่จากการปริพันธ์ และ $f(\kappa, \nu, \mu, \eta, \lambda)$ เป็นฟังก์ชันของโนเมนตัม เชิงมูน

$$Q_k^2 = \frac{2R_B^2 R_M^2}{50R_B^2 + 15R_M^2} \quad (4-41)$$

$$Q_q^2 = \frac{R_B^2}{2} \quad (4-42)$$

$$\hat{O}' = \sum_{\mu, \eta, \lambda} (-1)^{1+\mu+\eta+\lambda} \sigma_{-\mu}^{38} \sigma_{-\eta}^{47} \sigma_{-\lambda}^{56} 1_F^{38} 1_F^{47} 1_C^{56} 1_C^{38} 1_C^{47} 1_C^{56} \quad (4-43)$$

ที่สถานะเริ่มต้น $|i\rangle$ แสดงด้วย $^{2I+1,2S+1}L_J$ โดยที่ L คือโนเมนตัมเชิงมุนของออบิทัล S คือสpin J คือโนเมนตัมเชิงมุนรวม และ I คือไอโซสpin ส่วนสถานะสุดท้าย $\langle f |$ แสดงด้วยเซตของเลขค่าอนตัม $\{ \ell_f, J_f \}$ โดยที่ ℓ_f คือโนเมนตัมเชิงมุนของออบิทัลสัมพัทธ์

จากการคำนวณโดยกำหนดให้พารามิเตอร์เชิงรัศมีมีค่า $R_M = 4.1 \text{ GeV}^{-1}$ และ $R_B = 3.1 \text{ GeV}^{-1}$ (Gutsche et al., 1997) พบว่าแอมพลิจูดของการเปลี่ยนสถานะมีค่าน้อยมาก โดยแอมพลิจูดของการเปลี่ยนสถานะของพจน์ที่ให้ค่าสูงสุดเป็น

$$T_{if}(\bar{q}, \bar{k}) = 5.9 \times 10^{-9} \lambda_{38} \lambda_{47} \lambda_{56} N B^2 q \exp\{-4.8q^2 - 0.44k^2\} \langle CSF \rangle \quad (4-44)$$

$$N = N_{uuds\bar{s}} N_{\bar{u}\bar{u}\bar{d}\bar{s}\bar{s}} N_\phi N_X \quad (4-45)$$

เมื่อ λ คือค่าความเข้มยังผลของการอันตรีริยา N คือค่าคงที่ปกติจากฟังก์ชันคลื่นของอนุภาค $p(uuds\bar{s})$, $\bar{p}(\bar{u}\bar{u}\bar{d}\bar{s}\bar{s})$, ϕ และ X โดยมี $\langle CSF \rangle$ เป็นแอมพลิจูดในส่วนของสี-สpin-เฟลเวอร์ซึ่งจะมีค่าเท่ากับโครงสร้างของspinและเฟลเวอร์ของอนุภาคที่จะเกิดขึ้นหลังปฏิกริยา

เมื่อเทียบกับแอมพลิจูดของการเปลี่ยนสถานะของคู่โปรตอนที่มีค่าวร์ก 5 ตัวและปฎิโปรตอนที่มีค่าวร์ก 3 ตัวตามแผนภาพจากภาพที่ 4-1 (ก) (Srisupaphon et al., 2011) ซึ่งเป็นแอมพลิจูดภายใต้เงื่อนไขเดียวกันพบว่ามีค่าน้อยกว่ามาก คือ

$$T_{if}(\bar{q}, \bar{k}) = 9.5 \times 10^{-6} \lambda' N' A B q \exp\{-5.7q^2 - 1.2k^2\} \langle CSF \rangle \quad (4-46)$$

$$N' = N_{uuds\bar{s}} N_{\bar{u}\bar{u}\bar{d}\bar{s}\bar{s}} N_\phi N_X \quad (4-47)$$

จะเห็นได้ว่าแอมพลิจูดจากแผนภาพเส้นทางค่าวร์กนี้มีค่ามากกว่ามากเมื่อเทียบกับกรณีค่าวร์ก 5 ตัวและปฎิค่าวร์ก 5 ตัวที่สอดคล้องกับแผนภาพเส้นทางค่าวร์กดังที่แสดงไว้ในรูปที่ 4-1 (ข) ซึ่งแม้ว่าไม่นำขนาดของแอมพลิจูดขององค์ประกอบของฟังก์ชันคลื่นของโปรตอนจากส่วนของค่าวร์ก 3 (A) ตัว และ 5 ตัว (B) ดังที่ได้แสดงไว้ในสมการที่ 3-25 มาพิจารณาแล้วตาม